

## 高三物理

2023.1

(考试时间 90 分钟 满分 100 分)

## 第一部分

本部分共 14 题,每题 3 分,共 42 分。在每题列出的四个选项中,选出最符合题目要求的一项。

1. 下列说法正确的是

- A. 物体所带电荷量一定是元电荷  $e$  的整数倍
- B. 点电荷是一种理想化模型,其所带电荷量一定很小
- C. 两点电荷间的静电力与它们间的距离成反比
- D. 丝绸与玻璃棒摩擦后带正电,是因为玻璃棒给丝绸提供了正电荷

2. 如图所示,是一个正弦式交变电流的波形图。则

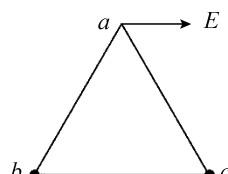
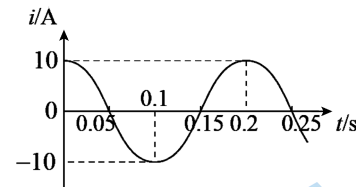
- A. 该交变电流的周期为 5s
- B. 该交变电流的有效值为  $10\sqrt{2}$  A
- C. 若将该电流通过  $10\Omega$  的电阻时,1s 内产生热量为 500J
- D. 若将该电流输入匝数比为  $10:1$  的降压变压器,副线圈输出电流的最大值为 1A

3. 我国北斗导航系统所使用的电磁波频率约  $1561\text{MHz}$ ;家用微波炉加热食物所使用的电磁波频率约  $2450\text{MHz}$ ;家用 WiFi 所使用的电磁波频率约  $5725\text{MHz}$ 。则家用 WiFi 所使用的电磁波

- A. 不会产生偏振现象
- B. 比微波炉所使用的电磁波更容易产生明显的衍射现象
- C. 与北斗导航所使用的电磁波叠加时将会产生干涉现象
- D. 从一个房间穿越墙壁进入另一个房间时其频率会变化

4. 在一个等边三角形  $abc$  顶点  $b$  和  $c$  处各放入一个电荷量相等的点电荷时,测得  $a$  处的场强大小为  $E$ ,方向与  $bc$  边平行,如图所示。拿走  $c$  处的点电荷后,则

- A.  $a$  处场强大小仍为  $E$ ,方向由  $a$  指向  $b$
- B.  $a$  处场强大小为  $\frac{E}{2}$ ,方向由  $b$  指向  $a$
- C.  $a$  处电势降低
- D.  $a$ 、 $c$  两点电势相等



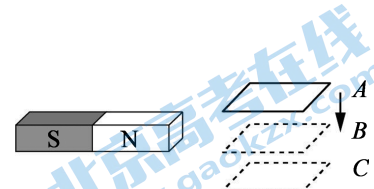
5. 如图所示,在水平放置的条形磁铁的 N 极附近,一个闭合线圈始终竖直向下加速运动,并始终保持水平。在位置 B 时 N 极附近的磁感线正好与线圈平面平行,A、B 之间和 B、C 之间的距离相等,且都比较小。下列说法正确的是

A. 线圈在位置 A 时感应电流的方向为顺时针(俯视)

B. 线圈在位置 C 时感应电流的方向为顺时针(俯视)

C. 线圈在位置 B 时穿过线圈的磁通量最大

D. 线圈在位置 C 时的感应电流比在位置 A 时的大



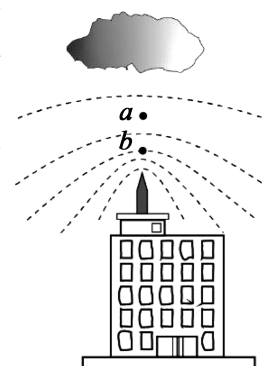
6. 为避免闪电造成损害,高大的建筑物会装有避雷针。积雨云底层带负电,由于静电感应使得避雷针的尖端带上了正电。图中虚线为避雷针周围的等势面,且相邻等势面间的电势差相等。避雷针尖端正上方 a、b 两点的场强大小分别为  $E_a$ 、 $E_b$ , 电势分别为  $\varphi_a$ 、 $\varphi_b$ 。一带负电的雨滴竖直下落经过 a、b 两点。下列说法正确的是

A.  $E_a > E_b$

B.  $\varphi_a > \varphi_b$

C. 该雨滴从 a 下落至 b 的过程中,电势能逐渐减少

D. 若该避雷针某时刻开始放电,则放电电流从积雨云流向避雷针



7. 电磁炉是目前家庭常用的炊具,具有无明火、无污染、高效节能等优点。某同学仿照电磁炉原理自己制作了一个简易电磁炉,其结构简图如图所示。在线圈上端放置一盛有冷水的金属杯,接通交流电源,一段时间后杯内的水就会沸腾起来。下列说法正确的是



A. 家用电磁炉工作时,利用其面板产生的涡流来加热食物

B. 家用电磁炉的锅用铁而不用陶瓷材料,主要是因为陶瓷的导热性能较差

C. 简易电磁炉工作时,利用线圈产生的自感现象来加热水

D. 仅增大简易电磁炉交流电的频率,可以缩短水达到沸腾的时间

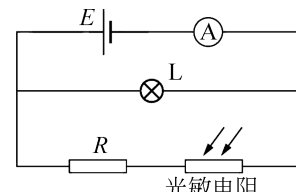
8. 已知光敏电阻在没有光照射时电阻很大,并且光照越强其阻值越小。利用光敏电阻作为传感器设计了如图所示的电路,电源电动势  $E$ 、内阻  $r$  及电阻  $R$  的阻值均不变。当光照强度增强时,则

A. 电灯 L 变亮

B. 电流表读数减小

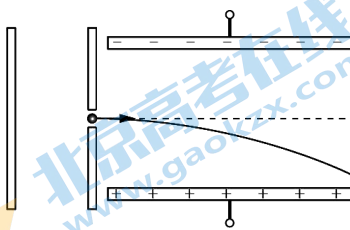
C. 电阻 R 的功率增大

D. 电源的输出功率一定增大

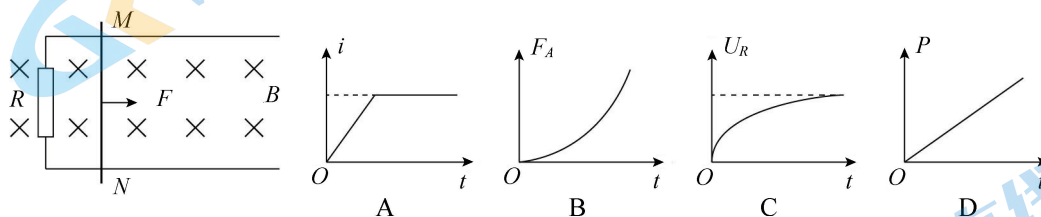


9. 甲、乙两个带电粒子的电荷量和质量分别为 $(-q, m)$ 、 $(-q, 4m)$ ，它们先后经过同一加速电场由静止开始加速后，由同一点进入同一偏转电场，两粒子进入时的速度方向均与偏转电场方向垂直，如图所示。粒子重力不计。则甲、乙两粒子

- A. 进入偏转电场时的速度大小之比为 $1 : 2$
- B. 离开偏转电场时的动能之比为 $1 : 1$
- C. 在偏转电场中运动的时间相同
- D. 离开偏转电场时的速度方向不同

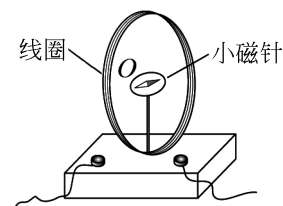


10. 如图所示，电阻不计的光滑平行金属导轨水平置于方向竖直向下的匀强磁场中，左端接一定值电阻 $R$ ，电阻为 $r$ 的金属棒 $MN$ 置于导轨上，金属棒与导轨始终垂直且接触良好。在 $t=0$ 时金属棒受到垂直于棒的水平恒力 $F$ 的作用由静止开始运动，金属棒中的感应电流为 $i$ ，所受的安培力大小为 $F_A$ ，电阻 $R$ 两端的电压为 $U_R$ ，电路的电功率为 $P$ ，下列描述各量随时间 $t$ 变化的图像正确的是

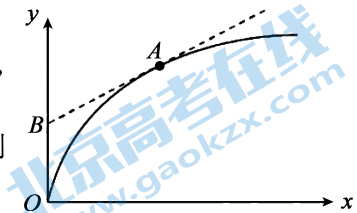


11. 由电磁理论可知，半径为 $R$ 、电流强度为 $I$ 的单匝环形电流，其中心处的磁感应强度大小 $B=kI/R$ ，其中 $k$ 为已知常量。正切电流计是利用小磁针的偏转来测量电流的，如图所示，在一个竖直放置、半径为 $r$ 、匝数为 $N$ 的圆形线圈的圆心 $O$ 处，放一个可以绕竖直轴在水平面内转动的小磁针（带有分度盘）。该线圈未通电时，小磁针稳定后所指方向与地磁场水平分量的方向一致。调整线圈方位，使其与静止的小磁针在同一竖直平面内。给线圈通上待测电流后，小磁针偏转了 $\alpha$ 角。已知仪器所在处地磁场磁感应强度的水平分量的大小为 $B_0$ 。则

- A. 待测电流在圆心 $O$ 处产生的磁感应强度大小为 $B_0 \cos \alpha$
- B. 待测电流在圆心 $O$ 处产生的磁感应强度大小为 $\frac{B_0}{\sin \alpha}$
- C. 待测电流大小为 $\frac{rB_0 \tan \alpha}{KN}$
- D. 待测电流大小为 $\frac{rB_0}{KN \tan \alpha}$

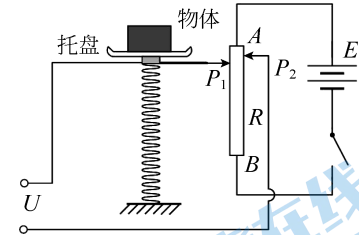


12. 如图所示,若  $x$  轴表示时间,  $y$  轴表示速度,则该图线下的面积表示位移,直线  $AB$  的斜率表示物体在该时刻的加速度大小。若令  $x$  轴和  $y$  轴分别表示其它物理量,则可以反映在某种情况下相应物理量之间的关系。下列说法正确的是
- 若电场方向平行于  $x$  轴,  $x$  轴表示位置,  $y$  轴表示电势,则直线  $AB$  的斜率表示对应位置处的电场强度大小
  - 若  $x$  轴表示时间,  $y$  轴表示穿过密绕螺线管的磁通量,则直线  $AB$  的斜率表示该螺线管产生的电动势大小
  - 若  $x$  轴表示流经某电阻的电流,  $y$  轴表示该电阻两端的电压,则图线下面积表示电阻的热功率
  - 若  $x$  轴表示时间,  $y$  轴表示通过导体横截面积的电荷量,则该图线下面积表示这段时间内电流所做的功



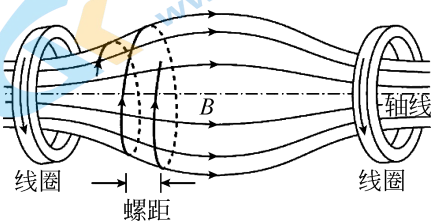
13. 某电子秤的原理简图如图所示。 $AB$  为一均匀的滑动变阻器, 长度为  $L$ , 两边分别有  $P_1$ 、 $P_2$  两个滑动头, 轻质弹簧上端与  $P_1$  及秤盘底部相连, 下端固定。弹簧原长时  $P_1$  和  $P_2$  均指在  $A$  端。若  $P_1$ 、 $P_2$  间出现电压时, 该电压经过放大, 通过信号转换后在显示屏上就能显示出被称物体的质量。已知弹簧的劲度系数为  $k$ , 托盘质量为  $m_0$ , 电源电动势为  $E$ , 内阻不计。重力加速度为  $g$ 。在托盘上未放物体时需要先校准零点, 即未放被称物体时电压为零。则

- 校准零点时, 不需要移动滑动头  $P_2$
- 校准零点时, 两滑动头间的距离为  $\frac{m_0 g}{k}$
- 滑动头  $P_1$  滑至  $B$  端时, 被称物体的质量为  $\frac{kL}{g}$
- 被称物体的质量  $m$  与两滑动头间电压  $U$  的关系为  $m = \frac{kL}{Eg}U$



14. 在现代研究受控热核反应的实验中, 需要把  $10^7 \sim 10^9$  K 的高温等离子体限制在一定空间区域内, 这样的高温下几乎所有作为容器的固体材料都将熔化, 磁约束就成了重要的技术。

如图所示, 科学家设计了一种中间弱两端强的磁场, 该磁场由两侧通有等大同向电流的线圈产生。假定一带正电的粒子(不计重力)从左端附近以斜向纸内的速度进入该磁场, 其运动轨迹为图示的螺旋线(未全部画出)。此后, 该粒子将被约束在左右两端之间来回运动, 就像光在两个镜子之间来回“反射”一样, 不能逃脱。这种磁场被形象地称为磁瓶, 磁场区域的两端被称为磁镜。



根据上述信息并结合已有的知识, 可以推断该粒子

- 从左端到右端的运动过程中, 沿磁瓶轴线方向的速度分量逐渐变小
- 从靠近磁镜处返回时, 在垂直于磁瓶轴线平面内的速度分量为最大值
- 从左端到右端的运动过程中, 其动能先增大后减小
- 从左端到右端的运动过程中, 其运动轨迹的螺距先变小后变大

## 第二部分

本部分共 6 题,共 58 分。

15. (8分)物理实验一般都涉及实验目的、实验原理、实验仪器、实验方法、实验操作、数据分析等。

(1)在“测定金属丝的电阻率”的实验中,将多用电表的选择开关置于“ $\times 1$ ”位置,粗测金属丝的电阻。下列实验步骤正确的操作顺序为\_\_\_\_\_。(填写各实验步骤前的字母)

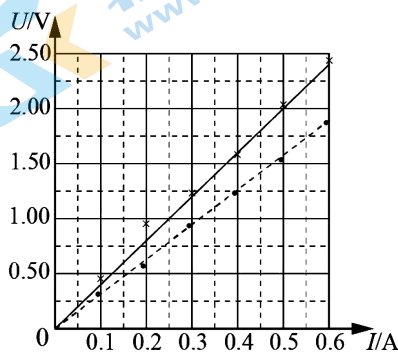
- A. 将选择开关置于“ $\times 1$ ”位置
- B. 将选择开关置于“OFF”位置
- C. 将两表笔分别接触待测电阻两端,读出其阻值后随即断开
- D. 将两表笔直接接触,调节欧姆调零旋钮,使指针指向“0”

(2)用伏安法测量约  $5\Omega$  左右的金属丝的阻值,实验室备有下列器材可供选择:

- A. 电压表(量程  $0 \sim 3V$ ,内阻约  $15k\Omega$ )
- B. 电压表(量程  $0 \sim 15V$ ,内阻约  $75k\Omega$ )
- C. 电流表(量程  $0 \sim 3A$ ,内阻约  $0.2\Omega$ )
- D. 电流表(量程  $0 \sim 0.6A$ ,内阻约  $1\Omega$ )
- E. 滑动变阻器  $R_1(0 \sim 20\Omega, 0.6A)$
- F. 滑动变阻器  $R_2(0 \sim 2000\Omega, 0.6A)$
- G. 电池组  $E$ (电动势  $3V$ )
- H. 开关  $S$ ,导线若干

为了能测得多组实验数据,并尽可能提高测量精度,电压表应选用\_\_\_\_\_,电流表应选用\_\_\_\_\_,滑动变阻器应选用\_\_\_\_\_。(填写器材前面的字母)

(3)某兴趣小组用电流表内接法和外接法分别测量了一段 2B 铅笔芯的多组电流  $I$  和电压  $U$  的数值,并分别描绘了  $U-I$  图像,如图所示。其中,用电流表外接法得到的是用\_\_\_\_\_ (填写“实线”或“虚线”)表示的图像,并由此得到这段铅笔芯的电阻值为\_\_\_\_\_  $\Omega$ 。(保留两位有效数字)



16. (10分)某同学根据闭合电路欧姆定律测量电源的电动势和内阻。

(1) 测量电源电动势  $E$  和内阻  $r$  的实验方案为:设计如图 1 所示的电路,调节滑动变阻器,改变电源两端的电压  $U$  和流过电源的电流  $I$ ,依据公式 \_\_\_\_\_, 利用测量数据作出  $U - I$  图像,得出  $E$  和  $r$ 。

(2) 现有图 2 所示的实验器材和若干导线。图中已将实验器材进行了部分连接,还应当用一根导线将电压表接线柱  $h$  与 \_\_\_\_\_ 接线柱连接,再用另一根导线将电压表接线柱  $g$  与 \_\_\_\_\_ 接线柱连接。(填写接线柱对应的字母)

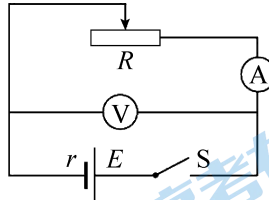


图 1

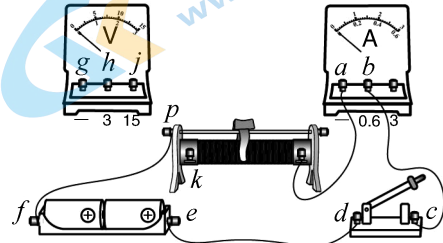


图 2

(3) 电路接线完毕,在保证电路安全的情况下闭合开关,调节滑动变阻器,发现电压表读数一直接近 3V 而电流表读数始终为零。已知导线与接线柱均无故障,且故障只有一处。现只改变电压表接线,再闭合开关、调节变阻器。下列推断正确的是 \_\_\_\_\_。

- A. 电压表接在  $a, f$  之间,电压表、电流表读数总为零,表明滑动变阻器短路
- B. 电压表接在  $a, b$  之间,电压表读数总接近 3V、电流表读数总为零,表明电流表断路
- C. 电压表接在  $c, d$  之间,电压表、电流表读数总为零,表明开关是完好的

(4) 从输出特性来看,电源通常有恒压源和恒流源两种模型。如图 3(a) 所示,将电源看作输出电压恒为  $U_s$  的理想电源(无内阻)与电阻  $R_s$  串联,若该电源输出的电压几乎不随负载  $R_L$  阻值的变化而变化,则被称为恒压源(即图中虚线框部分);如图 3(b) 所示,将电源看作输出电流恒为  $I_s$  的理想电源(内阻无限大)与电阻  $R_s$  并联,电源向外电路输出的电流几乎不随负载  $R_L$  阻值的变化而变化,则被称为恒流源(即图中虚线框部分)。

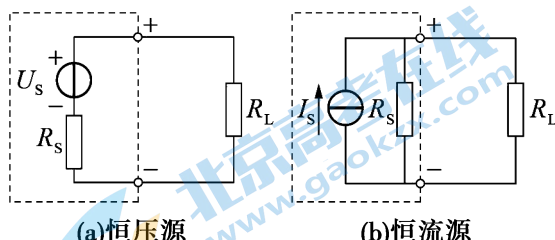
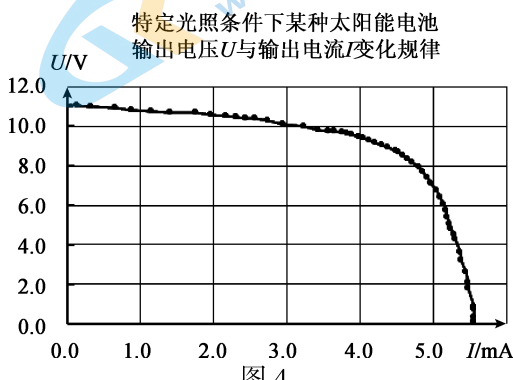


图 3



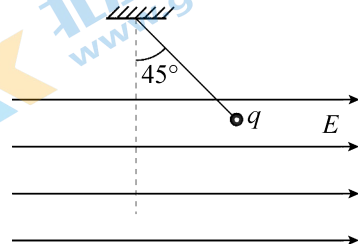
某种太阳能电池在特定光照条件下,随着负载  $R_L$  阻值的变化,其输出电压  $U$  与输出电流  $I$  的变化规律如图 4 所示。请描述该电池的输出特性,并结合恒压源和恒流源的特点解释其原因。

关注北京高考在线官方微信: 北京高考资讯(微信号:bjgkzx), 获取更多试题资料及排名分析信息。

17. (9分)

在水平方向的匀强电场中,用绝缘轻绳悬挂一质量为  $m$ 、电荷量为  $q$  的小球,小球静止时轻绳与竖直方向的夹角为  $45^\circ$ 。重力加速度为  $g$ 。不计空气阻力。

- (1) 求匀强电场的场强大小  $E$ ;
- (2) 若剪断轻绳,求小球此后在电场中运动时的加速度大小  $a$ ;
- (3) 若撤去电场,小球将在竖直平面内摆动,求小球摆到最低点时受到轻绳的拉力大小  $T$ 。

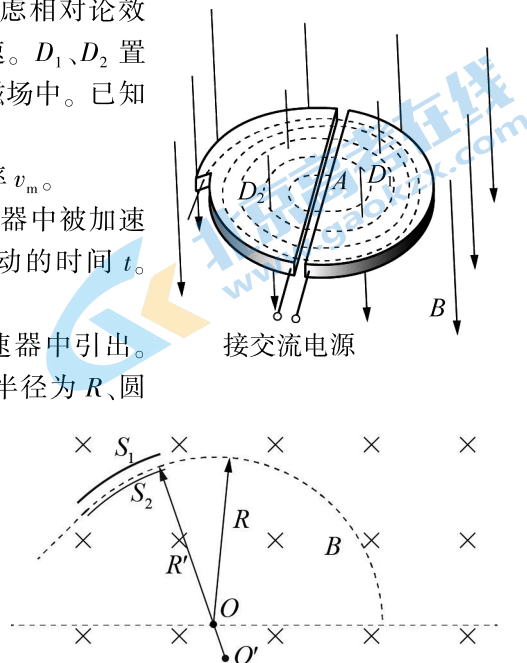


18. (9分)

回旋加速器在核技术、核医学等领域得到了广泛应用,其原理如图所示。 $D_1$  和  $D_2$  是两个中空的、半径为  $R$  的半圆金属盒,接在电压恒为  $U$  的交流电源上,位于  $D_1$  圆心处的质子源  $A$  能产生质子(初速度可忽略,重力不计,不考虑相对论效应),质子在两盒狭缝间的电场中运动时被加速。 $D_1$ 、 $D_2$  置于与盒面垂直的、磁感应强度大小为  $B$  的匀强磁场中。已知质子的质量为  $m$ ,带电量为  $q$ 。

- (1) 求质子被回旋加速器加速能达到的最大速率  $v_m$ 。
- (2) 求质子获得最大速度的过程中在回旋加速器中被加速的次数  $n$ ;并估算质子在回旋加速器中运动的时间  $t$ 。(不计质子在电场中的加速时间)
- (3) 利用静电偏转器可将加速后的质子从加速器中引出。

已知质子被引出前在磁场中做圆周运动的半径为  $R$ 、圆心为  $D_2$  的圆心  $O$ ,如图所示,静电偏转器由一对圆心在  $O'$ 、距离很近的弧形电极  $S_1$ 、 $S_2$  构成, $S_2$  厚度不计。两电极间加有沿弧形电极半径方向的电场,使得质子做圆周运动的半径增加为  $R'$  离开加速器。求偏转电场场强  $E$  的大小和方向。



## 19. (10分)

应用所学知识不仅可以解决“已知”的问题,也可以在质疑中探索“未知”的问题。

某同学利用电磁阻尼现象设计了如图情境1所示的用于缓冲降落的原理简图。一边长为 $L$ 、质量为 $m$ 、总电阻为 $R$ 的正方形导线框 $abcd$ 竖直下落,进入磁感应强度为 $B$ 的匀强磁场时开始做减速运动,线框平面始终在竖直平面内,且线框 $ad$ 边始终与磁场的水平边界平行。已知线框 $bc$ 边刚进入磁场时线框的速率为 $v$ 。重力加速度为 $g$ 。空气阻力不计。

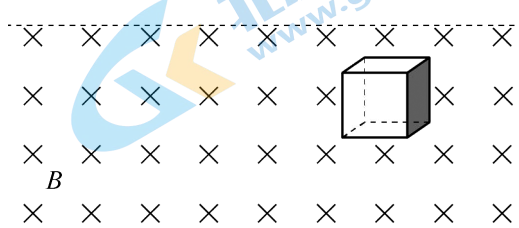
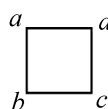
(1)求线框 $bc$ 边刚进入磁场时线圈中的电流 $I$ ;

(2)若线框 $ad$ 边刚要进入磁场时线框的速率减为 $\frac{v}{2}$ ,求线框在进入磁场的过程中所产生的焦耳热 $Q$ ;

(3)小明同学对“导线框全部进入磁场后下落的加速度为重力加速度 $g$ ”这一观点,产生了质疑,并认为此时线框的加速度应当略小于重力加速度 $g$ 。结合实际,小明把线框换成金属正方体,研究其在该磁场中的下落情况,如图情境2所示。已知该正方体的质量为 $M$ 、边长为 $L$ 。

a. 为便于定量分析,小明构建以下模型:假设正方体从静止开始一直在磁场中运动,平行磁感线的左右两个面可近似看作平行板电容器,电容为 $C$ 。忽略正方体电阻。求该正方体下落的加速度大小 $a$ ;并描述其运动性质。

b. 目前实验室最强磁场的磁感应强度约为几十特。若正方体边长 $L=0.1\text{m}$ ,质量 $M=5\text{kg}$ ,上述a间模型中电容器电容的数量级约为 $10^{-12}\text{F}$ 。结合上述信息,针对“导线框全部进入磁场后下落的加速度为重力加速度 $g$ ”这一说法,请阐述你的观点。



情境1

情境2

20. (12 分)

能量在转化的过程中往往与做功密切相关,电容器充电过程中的功能关系同样如此。

电容器不仅可以储存电荷,也是重要的储能器件。对电容为  $C$  的电容器(原来不带电)充电,如图 1 所示,已知电源的电动势为  $E$ 。

- (1) 图 2 中画出了电容器两极间的电势差  $u$  随电荷量  $q$  的变化图像,在图中取一电荷量的微小变化量  $\Delta q$ ,请类比直线运动中由  $v-t$  图像求位移的方法,说明图中小阴影矩形的“面积”所表示的物理含义;并计算电容器电压为  $U$  时电容器储存的电能  $E_p$ 。

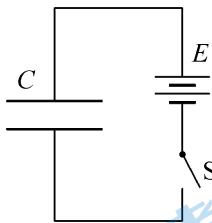


图 1

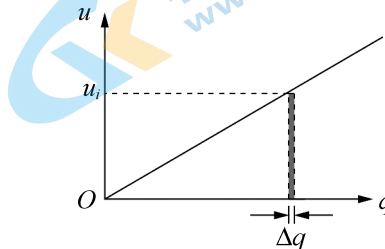


图 2

- (2) 请结合电动势的定义,求电容器充电过程中电源内部非静电力所做的功  $W$ ;并与充电过程中电容器增加的电能  $\Delta E_p$  相比较,说明两者“相等”或“不相等”的原因。
- (3) 电容器的电能是储存在电场中的,也称电场能。若定义单位体积内的电场能量为电场能量密度  $\rho$ 。某同学猜想  $\rho$  应当与该处的场强  $E_{场}$  的平方成正比,即  $\rho \propto E_{场}^2$ 。已知平行板电容器的电容  $C = \frac{s}{4\pi k d}$ ,  $s$  为两极板的正对面积,  $d$  为极板间距,  $k$  为常数,两极板间为真空中,板间电场可视为匀强电场。不计电容器电场的边缘效应。
- 请以电容器内储存的电场能为例论证该同学的猜想是否正确。
  - 电容器充电后与电源断开并保持电荷量不变,已知此时的电场能量密度为  $\rho_0$ 。现固定其中一极板,缓慢拉开另一极板(保持两极板正对),使板间距增加  $\Delta d$ ,请分析说明,在此过程中电场能量密度如何变化;并求出此过程中外力所做的功  $W'$ (用  $\rho_0$ 、 $s$  和  $\Delta d$  表示)。

(考生务必将答案答在答题卡上,在试卷上作答无效)

## 关于我们

北京高考在线创办于 2014 年，隶属于北京太星网络科技有限公司，是北京地区极具影响力中学升学服务平台。主营业务涵盖：北京新高考、高中生涯规划、志愿填报、强基计划、综合评价招生和学科竞赛等。

北京高考在线旗下拥有网站门户、微信公众平台等全媒体矩阵生态平台。平台活跃用户 40W+，网站年度流量数千万量级。用户群体立足于北京，辐射全国 31 省市。

北京高考在线平台一直秉承 “ 精益求精、专业严谨 ” 的建设理念，不断探索 “K12 教育 + 互联网 + 大数据 ” 的运营模式，尝试基于大数据理论为广大中学和家长提供新鲜的高考资讯、专业的高考政策解读、科学的升学规划等，为广大高校、中学和教科研单位提供 “ 衔接和桥梁纽带 ” 作用。

平台自创办以来，为众多重点大学发现和推荐优秀生源，和北京近百所中学达成合作关系，累计举办线上线下升学公益讲座数百场，帮助数十万考生顺利通过考入理想大学，在家长、考生、中学和社会各界具有广泛的口碑影响力。

未来，北京高考在线平台将立足于北京新高考改革，基于对北京高考政策研究及北京高校资源优势，更好的服务全国高中家长和学生。



微信搜一搜

Q 北京高考资讯